

УДК 535.417 : 537.525

## О ПРИМЕНЕНИИ МНОГОЛУЧЕВОГО ТРЕХПЛАСТИНЧАТОГО ИНТЕРФЕРОМЕТРА ПОСЛЕДОВАТЕЛЬНОГО ТИПА ДЛЯ ИССЛЕДОВАНИЯ ГАЗОВОГО РАЗРЯДА

Н. А. Полушкина и М. Б. Тендер

Рассмотрена возможность применения многолучевого интерферометра последовательного типа для исследования радиального распределения концентраций нейтральных атомов в положительном столбе разряда в аргоне. Приводится оценка чувствительности предложенного метода и диапазон измеряемых величин. Получены предварительные данные по радиальному распределению концентраций нейтральных атомов в аргоне в абсолютных единицах.

Как известно [1], показатель преломления нейтральных атомов аргона во всей видимой области спектра с хорошей точностью описывается формулой Коши

$$(n - 1)_{\text{ArI}} = 1.04 \cdot 10^{-23} (1 + 5.6 \cdot 10^{-11} \lambda^{-2}) N_{\text{ArI}}, \quad (1)$$

где  $n$  — показатель преломления нейтральных атомов аргона,  $\lambda$  — длина волны просвечивающего излучения в сантиметрах,  $N_{\text{ArI}}$  — концентрация нейтральных атомов аргона в  $\text{см}^{-3}$ .

Переходя к изменениям показателя преломления  $\Delta n$ , при  $\lambda = 0.546 \times 10^{-4}$  см имеем

$$\Delta N = 0.95 \cdot 10^{23} \Delta n (\text{см}^{-3}). \quad (2)$$

В принципе для интерферометрических исследований плазмы пригоден любой интерферометр, применяемый для измерения показателя преломления, например интерферометры Рождественского, Майкельсона [2, 3]. В последнее время благодаря применению газовых лазеров в качестве источника появилась возможность использовать для подобных целей интерферометр Фабри—Пера [4, 5].

В данной работе для исследования плазмы использовался многолучевой трехпластинчатый интерферометр последовательного типа (МТИПТ), который сочетает в себе некоторые особенности как двухлучевых схем, так и многолучевых. Подобно двухлучевым интерферометрам длина ветвей в МТИПТ ограничена лишь чисто конструктивными соображениями, но в то же время он дает многолучевые полосы низких порядков, не требуя для своей работы лазерных источников. Теория работы МТИПТ рассмотрена в статьях [6—8].

Схема опыта представлена на рис. 1. Свет от источника  $I$  (лампа ДРШ-250) проецируется конденсором  $K$  во входной зрачок интерферометра  $D_1$ . Объектив  $O_1$  направляет параллельный пучок света на пластины интерферометра  $P_1$ ,  $P_2$ ,  $P_3$ , расположенные так, что пластина  $P_1$  параллельна пластине  $P_2$ , а пластина  $P_3$  может наклоняться по отношению к первым двум на некоторый угол. В интерферометре наблюдаются полосы равной толщины. Объект исследования  $T$ , представляющий собой разрядную трубку, помещается в первую ветвь интерферометра  $P_1—P_2$ , во вторую ветвь интерферометра  $P_2—P_3$  ставится стеклянная пластинка  $C$  для компенсации начальной разности фаз, вносимой окнами разрядной

трубки  $T$ . Объектив  $O_2$  формирует изображение интерференционной картины в плоскости фотопленки  $\Pi$ . Комбинированный фильтр  $F$  выделяет зеленую линию ртути 546 нм и частично срезает собственное излучение плазмы. В фокусе объектива  $O_2$  помещается диафрагма  $D_2$  для уменьшения рассеянного света, создаваемого излучением плазмы.

Основные характеристики интерферометра: световой диаметр 55 мм; диаметр входной диафрагмы  $D_1$  0.5 мм; фокусное расстояние коллиматорного и камерного объективов  $f_1 = f_2 = 400$  мм, длина ветвей  $l_1 \sim l_2 \sim 310$  мм.

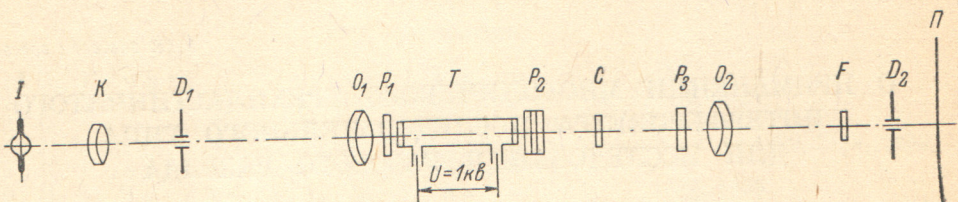


Рис. 1. Схема установки.

Интерферометр работал в рассчитанном [8] оптимальном режиме при коэффициентах отражения интерференционных пластин  $R_1 = R_3 = 0.8$  и  $R_2 = 0.998$ . Для получения заданного коэффициента отражения  $R_2$  в качестве средней делительной пластины  $P_2$  использовался эталон Фабри—Перо [8].

До момента зажигания разряда в трубке  $T$  интерферометр настраивался на равномерно освещенное поле, при этом пластина  $P_3$  устанавливалась на

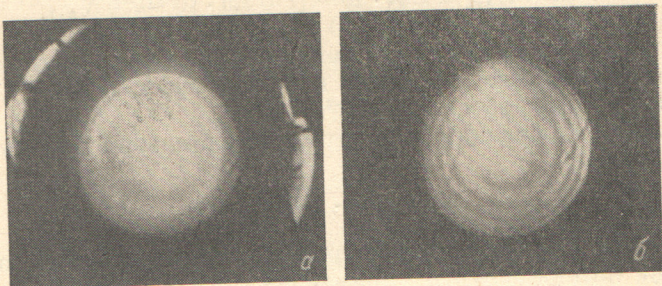


Рис. 2. Интерферограммы аргоновой плазмы  $p=1$  (а),  $p=2$  (б).

ливалась параллельно пластинам  $P_1$  и  $P_2$ . После зажигания разряда в поле зрения наблюдались концентрические кольца (рис. 2), соответствующие областям постоянной разности хода.

Разность хода в МТИПТ равна [6]

$$\Delta d = 2(l'_1 - l'_2), \quad (3)$$

где  $l'_1$  и  $l'_2$  — оптические длины ветвей интерферометра.

Если разместить пластины интерферометра  $P_1$ ,  $P_2$  и  $P_3$  так, что одна ветвь интерферометра  $l_1$  примерно в целое число  $p$  раз короче другой ветви  $l_2$ , и в короткую ветвь  $l_1$  поместить исследуемый объект, то нетрудно заметить, что в этом случае разность хода выражается формулой

$$\Delta d = 2(p l_1 - l_2), \quad (4)$$

где  $p$  — целое число, до которого округлено отношение  $l_2/l_1$ ,  $l_1$  и  $l_2$  — оптические длины ветвей интерферометра.

Оптическая длина пути в плазменном слое толщиной  $L$  отличается от оптической длины пути в вакууме на величину

$$2p\Delta nL = \Delta k\lambda, \quad (5)$$

ка-  
р-  
я-  
ет  
е-  
и-  
ш-  
е-  
мм;  
тор-  
0 мм.  
п  
2  
:  
при  
.8 и  
з ка-  
ри—  
траин-  
анав-

кар-  
ляет  
ение  
и-  
ш-  
е-  
мм;  
тор-  
0 мм.  
п  
2  
:  
при  
.8 и  
з ка-  
ри—  
траин-  
анав-

(3)

Ориентировочный учет этих обстоятельств дает значение  $\Delta n_{\max} \sim 10^{-4}$ . Таким образом, диапазон измеряемых значений  $\Delta N$  по (2)  $10^{15} - 10^{19} \text{ см}^{-3}$ , что дает возможность использовать метод в интервале давлений 0.1—760 тор.

На установке, схема которой приведена на рис. 1, производилось исследование радиального распределения концентраций нейтральных атомов в положительном столбе разряда в аргоне в трубке  $T$  радиусом  $r_{\text{тр.}} = 12.5 \text{ мм}$ , длиною  $l_{\text{тр.}} = 250 \text{ мм}$ .

На рис. 2 приведены фотографии интерферограмм плазмы, полученных при отношении ветвей интерферометра  $p=1$  и  $p=2$  и следующих условиях разряда: давление в трубке 20 тор, разрядный ток 0.14 а. Как видно из фотографии рис. 2, б, при  $p=2$  наблюдается увеличение числа колец в поле зрения и, следовательно, повышение чувствительности, что очевидно из формулы (6).

Обработка интерферограмм производилась методом фотографического фотометрирования с учетом доли полосы.

В предположении, что число частиц в трубке остается постоянным, было рассчитано радиальное распределение концентраций нейтральных атомов  $N$  в аргоне в абсолютных единицах (рис. 3).

В заключение авторы выражают искреннюю благодарность Ю. М. Кагану и Л. П. Разумовской за ряд ценных советов и участие в обсуждении работы.

где  $\Delta k$  — изменение порядка интерференции, вызванное изменением показателя преломления  $\Delta n$ . Отсюда

$$\Delta n = \frac{\lambda}{2pL} \Delta k. \quad (6)$$

Чувствительность  $\Delta n_{\min}$ , т. е. минимальное значение измеряемого изменения показателя преломления, для данной длины волны определяется предельной чувствительностью  $\Delta k_{\min}$  интерферометра последовательного типа. При фотографической регистрации, если экспонирование интерференционных полос производится на линейном участке характеристической кривой почернений [5],  $\Delta k_{\min} = 0.06 \sqrt{F}$ , где  $F$  — фактор резкости. В нашем случае  $F=40$  [8], тогда  $\Delta n_{\min} \sim 10^{-8}$  при  $\lambda=546 \text{ нм}$ ,  $L=250 \text{ мм}$ ,  $p=1$ . Из (2) следует, что чувствительность метода в определении изменения концентраций  $\Delta N_{\min} = 0.95 \cdot 10^{15} \text{ см}^{-3}$ .

Ограничение на верхний предел измеряемой величины  $\Delta n_{\max}$  накладывают следующие факторы: градиент неоднородности объекта и монохроматичность источника света. Влияние градиента неоднородности объекта можно свести к клину, помещенному на пути интерферирующих лучей, величина которого ограничивается допустимым искажением интерференционной картины [9]. Требования к монохроматичности источника света должны быть таковы, чтобы спектральная ширина источника была бы меньше аппаратурной ширины интерферометра  $\delta \lambda$ , которая определяется

$$\delta \lambda = \frac{\lambda^2}{(pl_1 - l_2) \pi \sqrt{F}}. \quad (7)$$

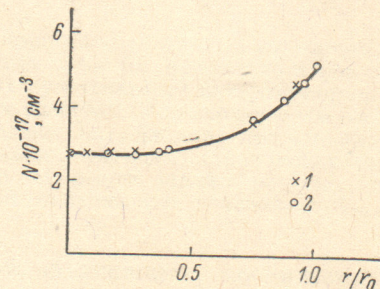


Рис. 3. Радиальное распределение концентраций нейтральных атомов аргона  $p=1$  (1),  $p=2$  (2).

[1] Диагностика плазмы. Под ред. Р. Хаддлстоуна и С. Леонарда. Изд. «Мир», М., 1967.

[2] Г. Г. Долгов, С. Л. Мандельштам. ЖЭТФ, 24, 691, 1953.

[3] Г. Г. Долгов-Савельев, Э. П. Кругляков, В. К. Малиновский, В. М. Федоров. Диагностика плазмы, вып. 2. Атомиздат, М., 1968.

#### Литература

- [4] В. В. Коробкин. Диагностика плазмы, вып. 1, М., 1963.
- [5] Г. Г. Долгов-Савельев, М. И. Пергамент, М. М. Степаненко, А. И. Ярославский. Диагностика плазмы, вып. 2. Атомиздат, М., 1968.
- [6] D. J Post. J. Opt. Soc. Am., 48, 309, 1958.
- [7] В. А. Москалев, И. М. Нагибина, Н. А. Полушкина. Оптико-механич. промышл., 12, 30, 1962.
- [8] В. А. Москалев, Н. А. Полушкина. Изв. вузов, приборостроение, 12, 1970.
- [9] Г. В. Розенберг. Оптика тонкослойных покрытий. ГИФМЛ, М., 1958.

Поступило в Редакцию 6 июля 1970 г.

---